

BOLETIN 3 - TEMPORADA DEL AGUJERO DE OZONO EN LA ANTARTIDA 2025

Gerardo Carbajal Benítez¹, Héctor Estévez Pérez⁷, Héctor Ochoa^{2,3}, Eduardo Luccini^{4,5}, Facundo Orte⁶ y Elian Wolfram^{1,6}.

- 1. Servicio Meteorológico Nacional, Argentina.
- 2. Dirección Nacional del Antártico / Instituto Antártico Argentino.
- 3. Universidad Tecnológica Nacional FRBA. Argentina.
- 4. CONICET Centro de Excelencia en Productos y Procesos de Córdoba, Argentina.
- 5. Facultad de Química e Ingeniería del Rosario, Pontificia Universidad Católica Argentina.
- 6. CEILAP, UNIDEF (CITEDEF-CONICET), Argentina.
- 7. Red Solarimétrica del Instituto de Geofísica, UNAM, México.

Octubre, 2025



Información sobre Copyright

Este reporte ha sido producido por empleados del Servicio Meteorológico Nacional con el fin de documentar sus actividades de investigación y desarrollo. El presente trabajo ha tenido cierto nivel de revisión por otros miembros de la institución, pero ninguno de los resultados o juicios expresados aquí presuponen un aval implícito o explícito del Servicio Meteorológico Nacional.

La información aquí presentada puede ser reproducida a condición que la fuente sea adecuadamente citada.







INDICE

RESUMEN		4
1.	Introducción.	5
2.	CONDICIONES METEOROLOGICAS PREVALECIENTES	5
	2.1 Temperaturas.	5
	2.2 Área y volumen las NEP	6
	2.3 Estabilidad del vórtice.	7
3.	OBSERVACIONES DE OZONO	8
	3.1 Observaciones Satelitales.	8
	3.2 Estaciones en superficie.	9
	3.2.1 Estación VAG USHUAIA.	9
	3.2.2 Estación Antártica Belgrano II	11
4.	EL AGUJERO DE OZONO	13
	4.1 El área del agujero de ozono.	13
5.	CONCLUSIONES	14
6.	AGRADECIMIENTOS	14
7.	BIBLIOGRAFÍA	15







RESUMEN.

El Boletín 3, tiene por objetivo, establecer la evolución del Agujero de Ozono sobre la Antártida para el año 2025. El agujero de ozono se está actualmente se desarrolla conforme avanza el 2025. Las condiciones meteorológicas de la estratosfera y el vórtice, ponen las condiciones físicas para su desarrollo, modulando su crecimiento, mientras que las condiciones químicas, a través de las NEP, inician con la destrucción del ozono total antártico. Las temperaturas zonales a 10 hPa, muestran tres calentamientos menores y no significativos en la estratosfera antártica, pero impacta las NEP que logran diluir las nubes tipo II antes de tiempo que lo normal. Los tres SSW genera una perturbación del vórtice polar, el cual provoca el paso del agujero de ozono por el sur de La Patagonia, lo cual es detectado por los ozonosondeo que se realizan en la estación VAG-Ushuaia y la estación antártica Belgrano. El área del agujero de ozono muestra según la NASA, alcanza un área máxima de 22.85 Millones de kilómetros cuadrados y una proyección por el tiempo, ya tiende a disminuir.

Palabras Claves: Ozono, Estratosfera, Antártida, Destrucción, Calentamiento Súbito Estratosférico Química y Meteorología.

ABSTRACT.

This Bulletin 3 aims to track the evolution of the ozone hole over Antarctica in 2025. As the year progresses, the ozone hole is currently developing. Meteorological conditions in the stratosphere and the polar vortex establish the physical environment for its growth, while chemical factors, particularly the Nitric Oxide Emission Processes (NEPs), drive the destruction of total Antarctic ozone. Zonal temperatures at 10 hPa indicate three minor, insignificant warmings in the Antarctic stratosphere. However, these warmings affect the NEPs, which manage to dilute type II clouds earlier than usual. The three Sudden Stratospheric Warmings (SSWs) disturb the polar vortex, causing the ozone hole to shift over southern Patagonia. This shift is detected through ozone soundings conducted at the GAW-Ushuaia station and the Belgrano Antarctic station. According to NASA, the area of the ozone hole has reached a maximum of 22.85 million square kilometers, and projections show that it is beginning to decrease over time.

Key Words: Ozone, Stratosphere, Antarctica, Destruction, Sudden Stratospheric Warming, Chemistry y Meteorology







1. INTRODUCCIÓN

El agujero de ozono antártico es un fenómeno que se caracteriza por una disminución drástica de la Columna de Ozono Total (COT) estratosférico sobre el Polo Sur durante la primavera austral (>220 UD). Su formación está asociada a la presencia de nubes estratosféricas polares (PSCs), bajas temperaturas y la liberación de radicales clorados y bromados procedentes de compuestos antropogénicos como clorofluorocarbonos (CFCs) y halones. La fotólisis de estas especies cataliza la destrucción del ozono mediante ciclos químicos muy eficientes. Desde la firma el 16 de septiembre 1987 y entrada en vigor del Protocolo de Montreal (1989), las concentraciones de estas sustancias han disminuido, y se proyecta una recuperación gradual de la capa para mediados del siglo XXI, aunque la variabilidad climática puede modificar dicha tendencia.

El objetivo del presente Boletín del Agujero de Ozono en la Antártida es monitorear la formación, evolución y finalización de la destrucción de ozono durante la primavera austral, a través de la evaluación de la Temperatura Estratosférica a nivel de 50 hPa y en latitudes polares, de 60° a 90° a 50 y 70 hPa, el análisis del área y volumen de las Nubes Estratosféricas Polares (NEP), así como la estabilidad del vórtice. Se incluye el análisis de observaciones satelitales y de superficie, la activación química del vórtice y el tamaño del Agujero de ozono. Finalmente, el impacto de la radiación ultravioleta en la Antártida y las conclusiones.

2. CONDICIONES METEOROLÓGICAS PREVALECIENTES.

2.1. Temperaturas.

La temperatura estratosférica media zonal a una altura de 10 hPa, continúan por arriba del promedio con un salto hacia un Calentamientos Súbitos Estratosféricos (En inglés, SSW) El día 23 de septiembre otro SSW aparece con gran intensidad, tal como se puede apreciar en la Figura 1 (Izquierda). En tanto el mapa (derecha) es la anomalía media semanal donde se observa el mayor SSW (+10°C) se encuentra en parte del territorio Antártico, mientras que una anomalía menor (+5°C) cruza el continente Antártico del Océano Pacifico Al Índico o viceversa.

Fuente de datos:

https://ozonewatch.gsfc.nasa.gov/meteorology/temp 2024 MERRA2 SH.html

https://charts.ecmwf.int/products/extended-anomaly

10t?base time=202507310000&player dimension=base time&projection=opencharts antarctic&valid time=202 508250000







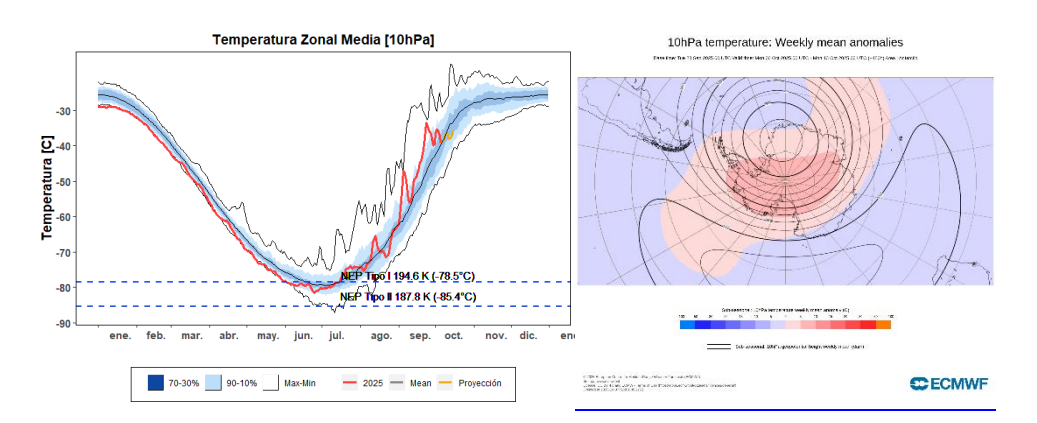


Figura 1. A la izquierda la serie de tiempo de temperatura a 10 hPa del 2025, en color marrón la media y en color negro los máximos y mínimos del periodo 1979 a 2024, mientras que el color rojo representa del 1 de enero al 5 de octubre del año 2025. El color naranja es la proyección del 6 al 16 de octubre. El mapa a la derecha es la anomalía media semanal que corresponde del 23 al 30 de septiembre y en color rosa a rojo es la anomalía positiva de temperatura (SSW).

2.2 Área de las Nubes Estratosféricas Polares (NEP).

En la Figura 2 se puede observar las NEP tipo I (Izquierdo) y tipo II (derecho) que están muy en dependencia de la temperatura en la estratosfera. En ambas tipos de nubes responde a los SWW con diminución de sus respectivas áreas. La NEP tipo I (Izquierda) están finalizando su ciclo, pero por debajo de lo normal y continuará así según las proyecciones hasta el 15 de octubre. En tanto las NEP tipo II (Derecha) vieron finalizado su ciclo a inicios de septiembre, antes de lo previsto, producto de los SSW que se han presentado, posteriormente tienen un repunto producto de un pequeño enfriamiento, pero las proyecciones muestran para el segundo SSW estarán finalizando su ciclo definitivamente, antes de lo normal.

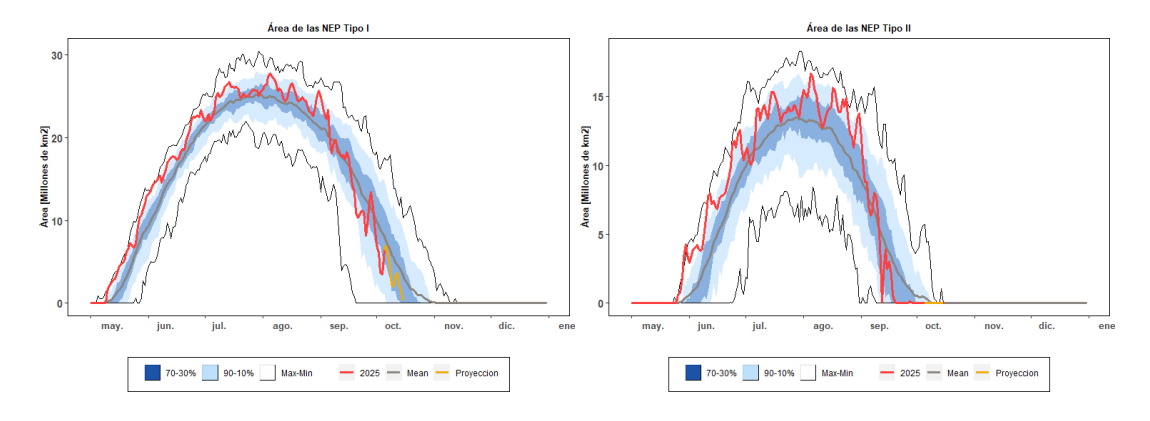


Figura 2. Área de las nubes estratosféricas polares (NEP) Tipo I (Izquierda) y Tipo II (derecha), sobre la región Antártica. La línea color roja, representa la el año 2025 hasta el día 4 de octubre, mientras que la línea naranja es la proyección del 5 hasta el 15 de octubre. Las líneas externas y central negras, son los valores medias, máximos y mínimos, durante el periodo 1979 – 2024. Las líneas sombreadas en azul-degrade, son los percentiles de 70 – 30% y de 10 – 90% para el mismo periodo.

Fuente de datos: https://ozonewatch.gsfc.nasa.gov/meteorology/temp 2023 MERRA2 SH.html







2.3 ESTABILIDAD DEL VÓRTICE

En la Figura 3 se puede observar que, alrededor del 15 de septiembre aumenta la intensidad de la actividad de onda planetaria y un buen indicador de esta actividad nos la muestra el flujo de calo, que a inicios del mes de octubre este presenta actividad, aunque las proyección muestra que más adelante y a mediados de octubre se va estabilizando la actividad de onda (Izquierda). La actividad de ondas Rossby (Derecha) confirma la el flujo de calor, donde se observa gran actividad alrededor de la misma fecha, incluso al día 10 de octubre.

Fuente de datos: https://ozonewatch.gsfc.nasa.gov/meteorology/flux 2023 MERRA2 SH.html

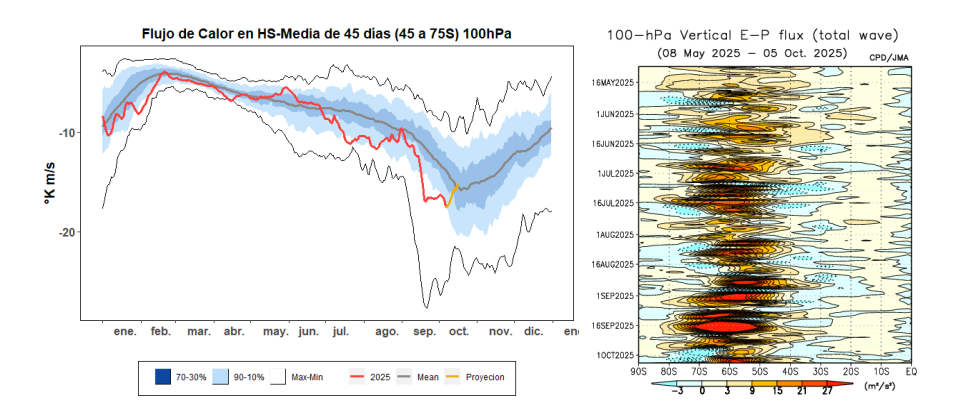


Figura 3. Serie de tiempo del flujo de calor meridional promediado sobre la región entre 45-75°S. La curva roja muestra los datos para 2025, mientras que la línea naranja es la proyección del 5 hasta el 14 de septiembre. Note que un gran número negativo significa un gran flujo de calor. Los valores cercanos a cero significan un flujo de calor pequeño. Las líneas externas y central negras, son los valores medias, máximos y mínimos durante el periodo 1979 – 2024. Las líneas sombreadas en azul-verde de adentro hacia fuera, son los percentiles de 70 – 30% y de 10 – 90% para el mismo periodo.

Fuente de datos:

https://ozonewatch.gsfc.nasa.gov/meteorology/flux 2023 MERRA2 SH.html

https://ds.data.jma.go.jp/tcc/tcc/products/clisys/STRAT/

En la Figura 4 se observa las proyecciones para el vórtice polar y su estabilidad, a través del Potencial de Vorticidad (PV), en una superficie isoentrópica de Temperatura Potencial a 475°K, correspondiente a la baja estratosfera, donde la destrucción de ozono se lleva a cabo. Se observa que el vórtice polar con cierta inestabilidad resultado del último SSW y se espera el vórtice polar alcance la Patagonia Sur, incluso Rio Gallegos en la Argentina para el día 10 de octubre.







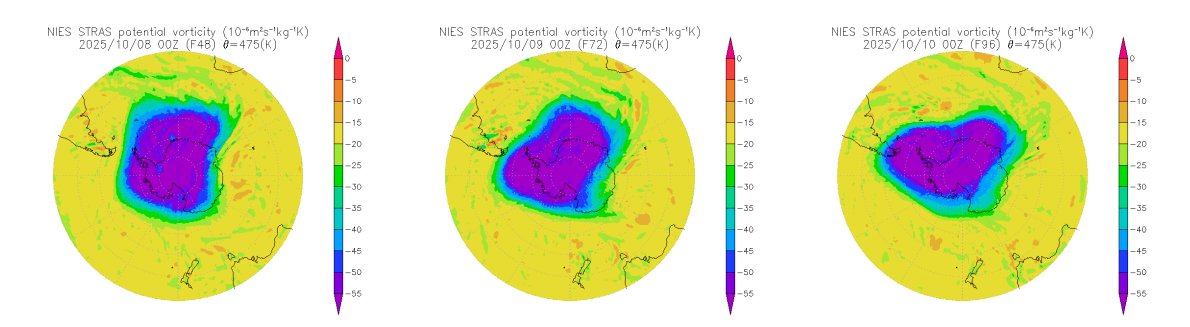


Figura 4. Mapas de Vorticidad Potencial (PV) a una altura isentrópica de 475°K. Los mapas son construidos por el Ceter for Global Environmental Research en Japón. De izquierda a derecha, representan los días 8, 9 y 10 de octubre.

Fuente de datos:

https://db.cger.nies.go.jp/gem/stras/en/forecast.html?date=20220830&polar=s&k=475

3. OBSERVACIONES DE OZONO

3.1 Observaciones Satelitales

En la Figura 5 se muestra los mínimos de ozono en el Hemisferio Sur (Izquierda) que, en los días 15 y 16 agosto el ozono cae a valores de 136 y 113 UD, situación que es record durante el periodo 1979 al 2024, posteriormente para los meses de septiembre y lo que va de octubre, los valores se observan por arriba de su media. Dentro de la capa polar (Centro) se observa que los valores se mantienen ondulando y por encima de la media histórica. Finalmente, el déficit de ozono se encuentra por encima de la media, es decir la pérdida de ozono hasta el momento no ha sido significativa, en lo que va de la temporada.



La Figura 5 se muestra la columna de ozono mínimo en Hemisferio Sur (Izquierda) y el Ozono dentro de la capa polar (Centro) del 2024, tal como han sido medidas por el TOMS, OMI y OMPS, en comparación con su media del periodo 1979 a 2023. Finalmente (Derecha), el déficit o pérdida de ozono por debajo de los 220 UD. La curva roja muestra los datos para 2025, las líneas externas y central negras, son los valores medias, máximos y mínimos durante el periodo 1979 - 2024. Las líneas sombreadas en azul-verde de adentro hacia fuera, son los percentiles de 70 - 30% y de 10 - 90% para el mismo periodo







Fuente de datos: https://ozonewatch.gsfc.nasa.gov/monthly/SH.html

3.2 Observaciones en superficie

Por ahora, solo se usan, mediciones en superficie obtenidos mediante el Espectrofotómetro Dobson y ozonosondeos de la Estación GAW Ushuaia (54° 50′ 54.46″S, 68° 18′ 37.52″ O). En tanto en las Estaciones Antárticas en Marambio (SMN), Belgrano (IAA/DNA) y san Martín (IAA/DNA) no han iniciado el programa de medición.

3.2.1. Estación VAG Ushuaia.



El espectrofotómetro Dobson (D131) mide todos los días y en la Figura 6, se muestra la evolución diaria (Izquierda) y mensual (Derecha) de la columna total de ozono y las medias mensuales para el año en curso, comparado con su media histórica (1994-2024). Los datos diarios de ozono total, muestran gran variabilidad respecto a su media histórica. En la Figura 7 se destacan tres eventos; (Izquierda) el día 23 de marzo donde se presenta un valor de ozono total de 215 UD ya que para ese día se hace presente un mini agujero de ozono. (Centro) el día 17 de septiembre el agujero de ozono pasa por el sur de la Patagonia (202 UD), alcanzando Rio Gallegos. En tanto los datos mensuales oscilan alrededor de la su media, sin cambios significativos. Finalmente, (Derecha) nuevamente el agujero de ozono pasa por el sur de La Patagonia el día 4 de octubre midiendo 202 UD.

En la Figura 8 se muestra los perfiles de ozono y de temperatura, producidos por las ozonosondas realizada el 23 de julio, 20 de agosto, 10 y 17 de septiembre, el 4 de octubre, respectivamente. En estos perfiles se observan para los primeros 3 días la capa de ozono aún sin destrucción significativa, pero el día 17 de septiembre y 4 de octubre, el agujero de ozono atraviesa el sur de la Patagonia y se observa reducción de este gas. Mientras que el día 10 se septiembre, el perfil de temperatura, muestra una estratosfera relativamente más caliente, debido a la presencia del SSW.

En los gráficos de muestra las que temperatura en la estratosfera para esa fecha esta fría, e incluso alcanza a pasar el umbral de la formación de las NEP Tipo I, lo cual aumento de probabilidad de avistamiento de este tipo de nueves, pero el día se presentó totalmente nublado. En cuanto al perfil de ozono, se observa la capa de ozono entre 15 y 25 km de altura, la capa de ozono, aún sin efecto de los compuestos destructores.







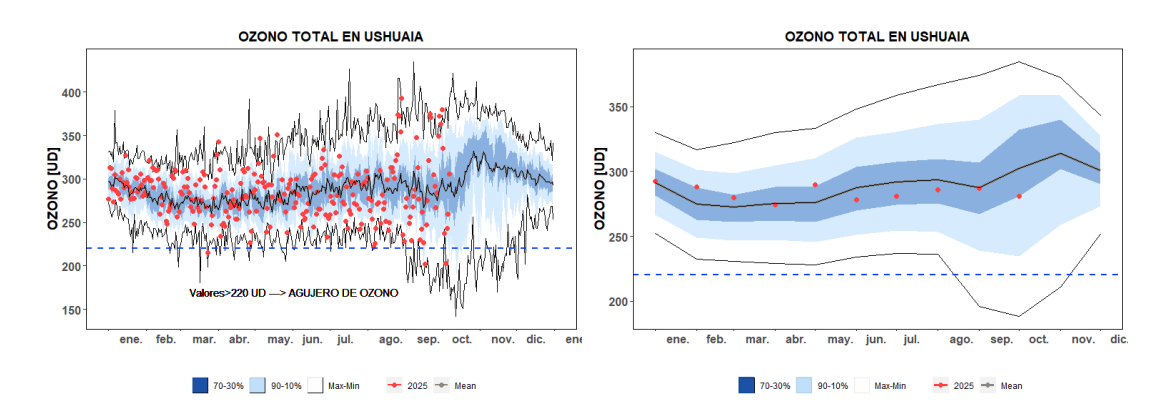


Figura 6. Datos de la columna Total de Ozono [UD] con el Espectrofotómetro Dobson en la estación VAG Ushuaia. Los puntos rojos son los datos del año 2025. Las líneas negras son la media, máximos y mínimos, en tanto los colores sombreados es la media del período 1994 a 2023. Las líneas sombreadas en azul-verde de adentro hacia fuera, son los percentiles de 70 - 30% y de 10 - 90%.

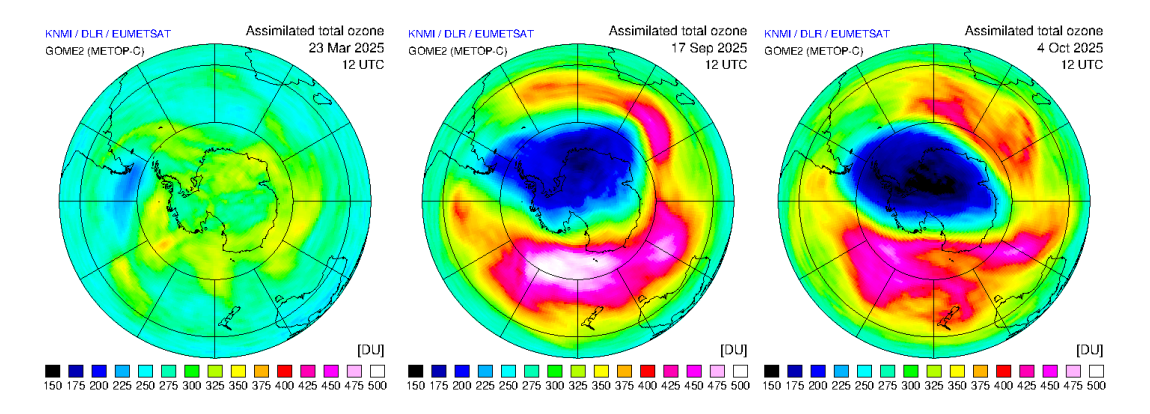
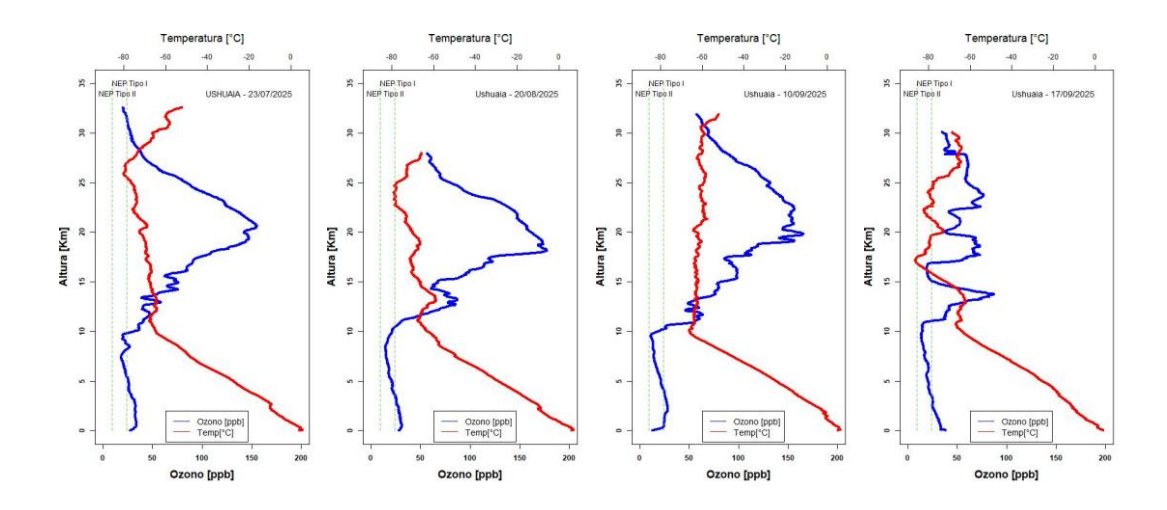


Figura 7. Mini agüero de ozono en el sur del continente. Y paso del agujero de ozono por el sur de la Patagonia.

Fuente: https://d1qb6yzwaaq4he.cloudfront.net/protocols/o3field/gome2c/2025/03/o3col2025032312 sp.gif







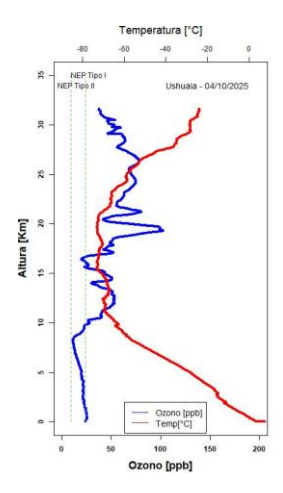
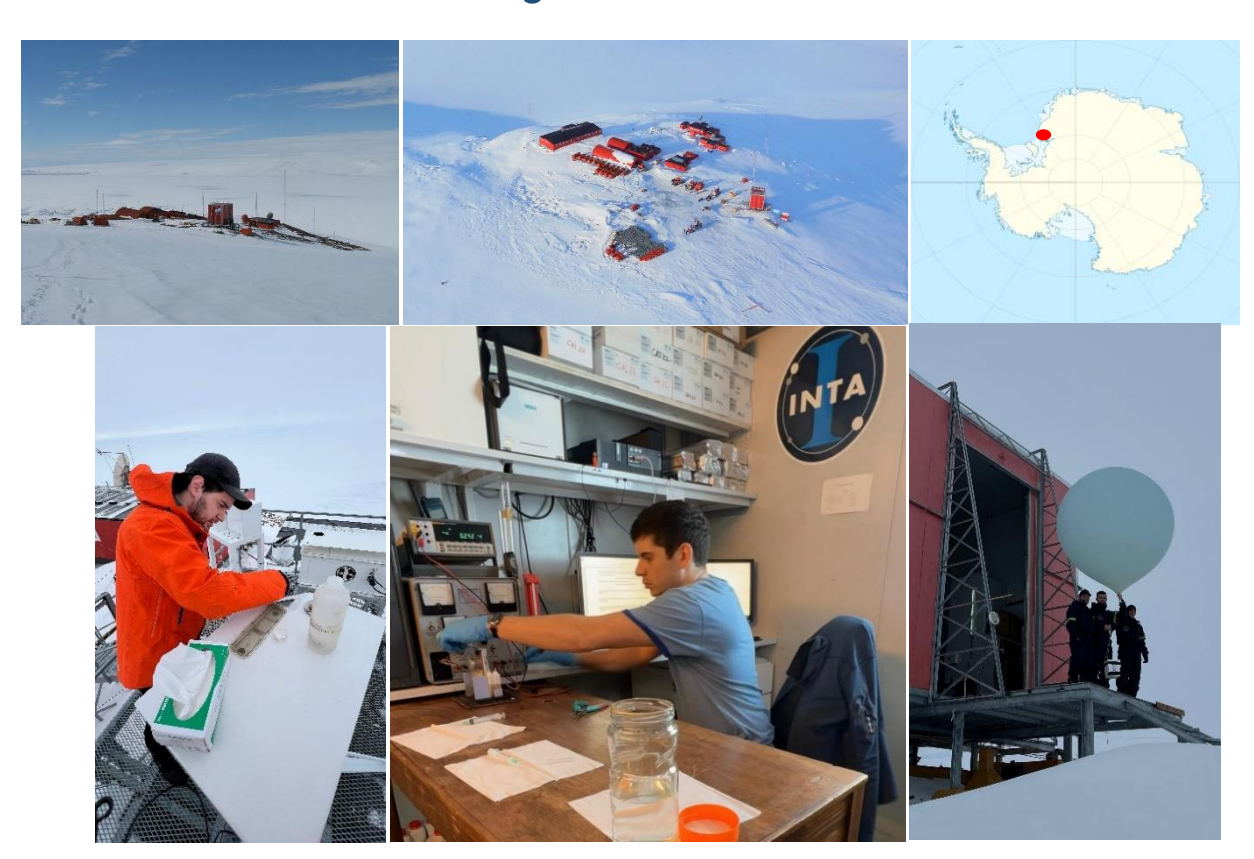


Figura 8. Ozonosondeos realizados en la Estación VAG de Ushuaia. En los cuatro gráficos, la línea azul es la relación de mezcla del ozono expresado en unidades partes por billón [ppb] en cada nivel de la atmosfera. Y la curva roja es el perfil de la temperatura en [°C].

3.2.2. Estación Antártica Belgrano II.



La estación Antártica Belgrano II se encuentra ubicada en el Nunatak Bertrab ubicado al sur del mar de Wedell en la Bahía Vahsel sobre la Costa Confin en la Tierra de Coats y forma parte de la red de medición de ozono total de programa VAG







de la OMM. El ozono total se mide con espectrofotómetro Brewer MKIV desde 1992, Los datos del Brewer #99 desde el año 2020 son parte de la red europea de brewer **EUBREWNET**. El Espectrofotómetro Brewer es un instrumento que deriva del convenio de Colaboración Científica entre la Dirección Nacional del Antártico - **Instituto Antártico Argentino** (IAA) y el **Programma Nazionale di Ricerche in Antartide** (PNRA) de Italia a través del Instituto de Física Atmosférica de Roma (IFAR).

Los ozonosondeos que, se realizan en esta base. Estos son llevados a cabo, a través del convenio de Colaboración Científica entre la Dirección Nacional del Antártico - Instituto Antártico Argentino (IAA) y el instituto Nacional de Tecnología Aeroespacial (INTA) de España desde 1994, donde se inicia la colaboración con el monitoreo de la capa de ozono y el NO2 con el Espectrómetro Visible de Absorción (EVA), utilizando la técnica DOAS (Differential Optical Absorption Spectroscopy). Hoy se trabaja con el espectrómetro NEVA II que utilizan la técnica Max DOAS. Ambos espectrómetros fueron desarrollados por el INTA de España.

La Estación Antártica Belgrano II es una estación NDACC y los datos pueden ser accedidos en el siguiente link: https://ndacc.larc.nasa.gov/stations/belgrano-ii-station-antarctica.

En la Figura 9 se muestra los perfiles derivados de los ozonosondeos en la estación Belgrano II, donde en todos los casos el agujero de ozono está presente, incluso el perfil de temperatura muestra para esos días, una estratosfera fría, cuando no están presente los SSW.

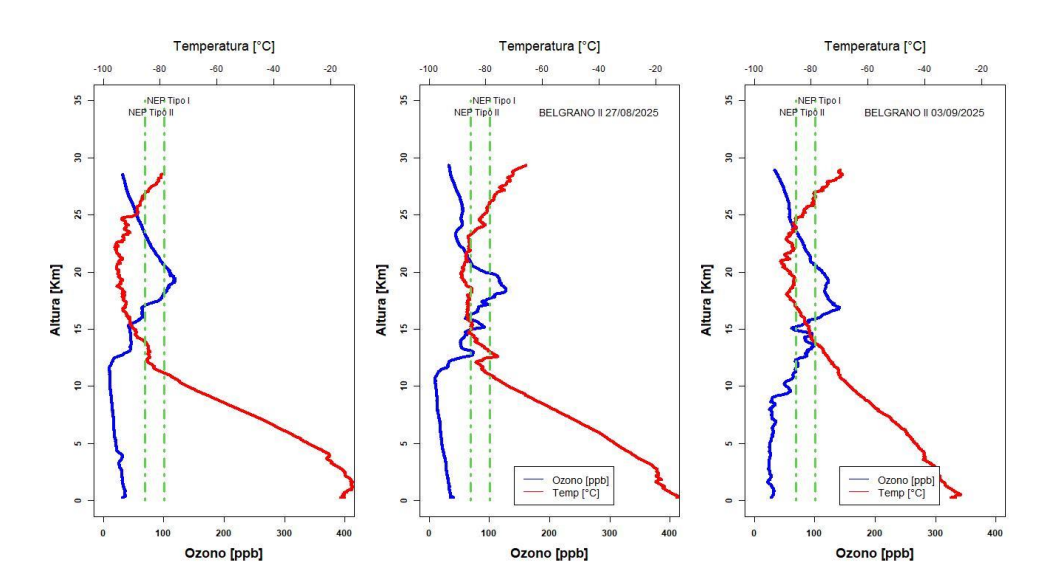


Figura 9. Ozonosondeos realizados en la Estación Antártica Belgrano II. En los tres gráficos, la línea azul es la relación de mezcla del ozono expresado en unidades partes por billón [ppb] en cada nivel de la atmosfera. Y la curva roja es el perfil de la temperatura en [°C].





4. El Agujero de ozono

4.1 El área del agujero de ozono

En la Figura 10 se muestra el área del agujero de ozono mediante varias metodologías, tanto satelitales como modelos de asimilación El valor más alto es 22.85 Millones de Km² – Ozone Watch NASA (arriba-izquierda). En tanto COPERNICUS con el satélite NOAA-21 OMPS (arriba-derecha) muestra 21,08 Millones de km². El portal TEMIS (abajo-izquierda) muestra poco menos de 20 Millones de km² Con el modelo asimilación MSR2. Finalmente, La NOAA con el satélite NOAA-20 OMPS (abajo-derecha) también muestra poco menos de 20 Millones de km². Las proyecciones muestran además, que la tendencia es ir a la baja, es decir disminuyendo el agujero de ozono.

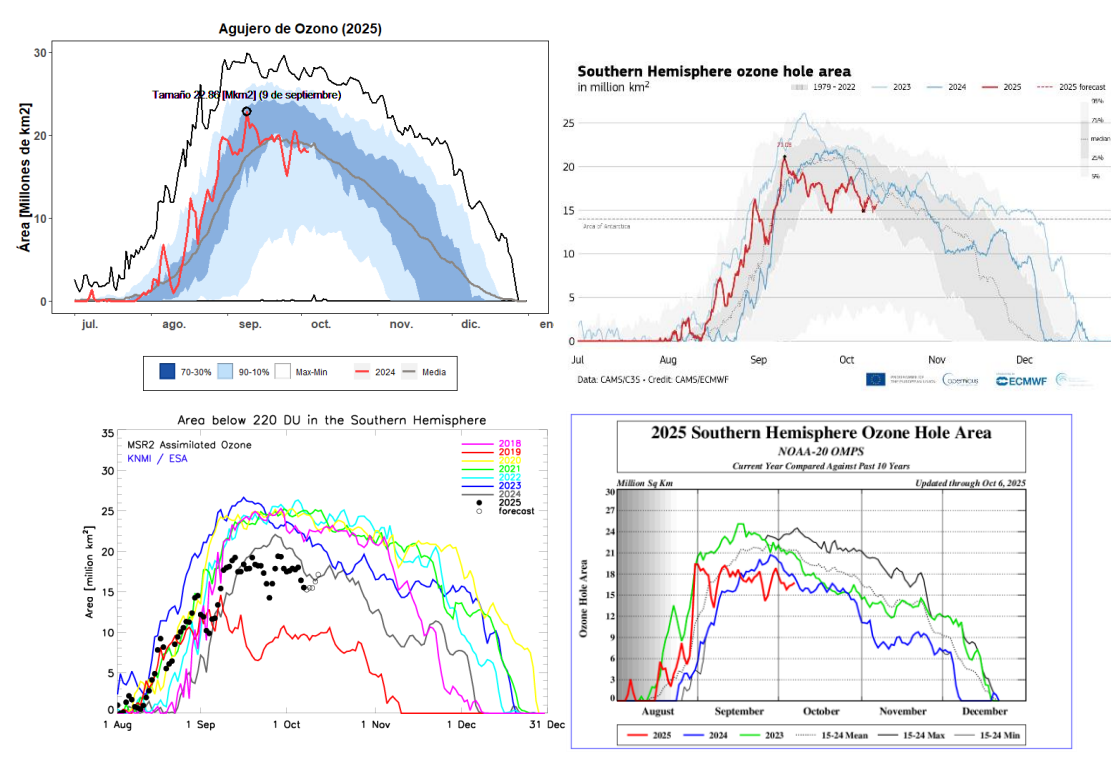


Figura 10. Área del Agujero de Ozono (millones de km²). Arriba-Izquierda, Es el consenso de satélites de la NASA, EEUU (TOMS+OMI+OMPS). Arriba-Derecha; son datos de COPERNICUS. Abajo-izquierda, son datos del TEMIS, Datos de la ESA (Agencia Espacial Europea). Finalmente abajo-derecha es de la NOAA.

Fuente de datos:

https://www.temis.nl/protocols/o3hole/o3 size.php?date=20230922&lang=0

https://atmosphere.copernicus.eu/monitoring-ozone-layer

https://ozonewatch.gsfc.nasa.gov/monthly/SH.html y https://www.temis.nl/index.php

https://www.cpc.ncep.noaa.gov/products/stratosphere/polar/gif_files/ozone_hole_2025.png

En la Figura 11, se observa los mapas proyectados para los próximos 4 días, considerando la evolución y desarrollo del agujero de ozono.







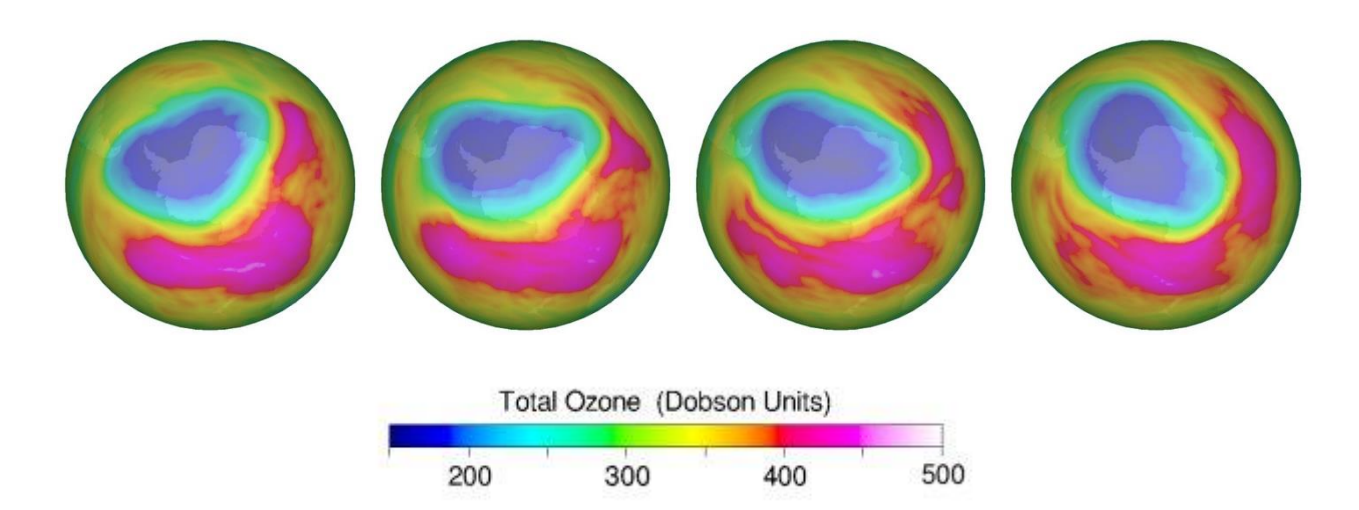


Figura 10. Proyecciones para los próximos 4 días a partir del día 9 hasta el 12 de octubre y muestran el desarrollo y evolución del agujero de ozono en lo que va del año 2025.

5. CONCLUSION

El agujero de ozono continúa su desarrollo conforme avanza el tiempo. Las condiciones meteorológicas de la estratosfera y el vórtice, ponen las condiciones físicas para su desarrollo, modulando su crecimiento, mientras que las condiciones químicas, a través de las NEP, inician con la destrucción del ozono total antártico.

Tres eventos de SSW han afectado la evolución del agujero de ozono, haciendo que éste decrezca una vez alcanzando el máximo, posteriormente un crecimiento repentino pero no alcanza valores superiores a los 20 millones de km². Esto implica que el año 2025, el ozono esta por arriba de su media histórica, es decir no hay tanta destrucción y un área máxima del agujero de ozono similar al del año 2024, 22.8 y 22.4 millones de km², respectivamente.

Finalmente se destaca 3 eventos de pase del agujero de ozono por el sur de La Patagonia, que en algunos casos alcanzó Comodoro Rivadavia y Rio Gallegos.

AGRADECIMIENTOS

Se agradece a la Oficina de Asimilación y Modelo Global (GMAO) de la NASA (MERRA).

Se agradece al Centro Europeo para Pronósticos del Tiempo de Medio Alcance (ECMWF), Instituto Noruego para Investigación del Aire (NILU) y a la Agencia Espacial Europea (ESA).

Se agradece a Copernicus Atmosphere Monitoring Service (CAMS - ECMWF).

Se agradece a Centro Climático de TOKIO, considerado Centro regional de Clima (RII, Asía).

Se agradece los datos de las ozonosondas de Belgrano II del convenio entre el instituto Antártico Argentino (IAA) dependencia de la Dirección Nacional del Antártico de Argentina (DNA) y el Instituto Nacional de Técnica Aeroespacial (INTA) de España.

Se agradece al **Prof. Juan Daniel Agüero y Osvaldo Blanco**, por el aporte y control de los datos históricos de la Estación Antártica Marambio.







Se agradece al personal de la Estación VAG-Ushuaia; Ing. Lino Fabián Condori, Sr. Emiliano Petruzzi y Sr. Gonzalo Gambarte.

Se agradece a los observadores Antárticos del Pabellón Científico de Marambio;

Se agradece a los observadores Antárticos de San Martín del Laboratorio LASAN:

Se agradece a los observadores Antárticos de Belgrano II del Laboratorio LABEL;

7. BIBLIOGRAFÍA

Banerjee, A., Fyfe, J. C., Polvani L. M., Waugh, D., and Chang K. A pause in Southern Hemisphere circulation trends due to the Montreal Protocol, Nature, Vol 579, 544-548.

Geir Braathen, "Boletín de Ozono Antártico", Editado por la WMO.

Newman (NASA), E. Nash (SSAI), R. McPeters (NASA), S. Pawson (NASA) National Aeronautics and Space Administration Goddard Space Flight Center - NASA Ozone Watch.

Veefkind, J.P., J.F. de Haan, E.J. Brinksma, M. Kroon and P.F. Levelt, Total Ozone from the Ozone Monitoring Instrument (OMI) Using the DOAS technique, IEEE Trans. Geo. Rem. Sens., 2006, Vol. 44, No. 5, 1239-1244, doi:10.1109/TGRS.2006.871204.

H. J. Eskes, R. J. van der A, E. J. Brinksma, J. P. Veefkind, J. F. de Haan, and P. J. M. Valks, Retrieval and validation of ozone columns derived from measurements of SCIAMACHY on Envisat, Atmos. Chem. Phys. Discuss, 5, 4429-4475, 2005.

Valks, P.J.M., J.F. de Haan, J.P. Veefkind, R.F. van Oss and D.S. Balis, TOGOMI: An improved total ozone retrieval algorithm for GOME, XX Quadrennial Ozone Symposium, 1/6/2004-8/6/2004, C.S. Zerefos (Ed), 2004, Athens, University of Athens, 129-130.

E. Botek, S. Chabrillat, Y. Christophe (BIRA-IASB) "Report on 2014 Antarctic ozone hole studies" MACC-III project (Monitoring Atmospheric Composition and Climate - III) 2014.

Scientific Assessment of Ozone Depletion 2018 – Exective Sumary – WMO UNO environment, NOAA, NASA, European Comission.

Manuel Gil Ojeda "El ozono estratosférico" Tethys, 3, 47-58, 2006. DOI:10.3369/tethys.2006.3.06.

Carbajal Benítez Gerardo, Facundo Orte, Elian Wolfram, Eduardo Luccini y Fernando Nollas. Boletines 1, 2, 3, 4 e Informe Final del Agujero de Ozono 2019.

Karpechko, A., Y. (2020). Jet stream stops shifting as ozone layer recovers, Nature, Vol 579, 544-501.

Solomon, S. (2019). The discovery of the Antarctic ozone hole, Nature, Vol 575, 46-47.

Carabajal Benitez Gerardo; Cupeiro Manuel; Sánchez Ricardo; Agüero Juan Daniel; Barlasina María Elena y Nollas Fernando. Caracterización de la Columna Total de Ozono medido con el Espectrofotómetro Dobson en cuatro estaciones en la Argentina. ISBN 978-987-1323-36-4



